

**ΠΕΤΡΟΛΟΓΙΑ.—Παρατηρήσεις ἐπὶ τοῦ χημισμοῦ τῶν σπιλιτικῶν Pillow - λαβῶν τῶν περιοχῶν Κεντρικῆς "Οθρυος καὶ Ἀβδέλλας Σμόλικα, ὑπὸ Κωνστ. Γ. Σιδέρη".** Ἀνεκοινώθη ὑπὸ τοῦ Ἀκαδημαϊκοῦ κ. Μ. Κ. Μητσοπούλου.

Εἰς τὰς περιοχὰς Κεντρικῆς "Οθρυος καὶ Ἀβδέλλας Σμόλικα ἀπαντοῦν εἰς λίαν ἐκτεταμένας περιοχὰς σπιλιτικὰ Pillow - λάβαι ὑπερκείμεναι, ὡς ἐπὶ τὸ πλεῖστον, συνήθων ἐκχύτων σπιλιτικῶν λαβῶν. Αἱ σπιλιτικὰ αὗται λάβαι ἔξεχύθησαν ἐντὸς τοῦ Ἑλληνικοῦ χώρου τοῦ ἀλπικοῦ γεωσυγκλίνου. Αἱ Pillow - λάβαι ἀποτελοῦν, ὡς γνωστόν, κατηγορίαν βασικῶν ἐκρηξιγενῶν πετρωμάτων ἐμφανιζομένων ὑπὸ μορφὴν προσκεφαλαίων ἢ σάκκων συσσωρευμένων εἰς τεραστίας πολλάκις ποσότητας καὶ τῶν δποίων ἡ δημιουργία, ὡς εἶναι γενικῶς παραδεκτόν, ἔλαβε χώραν ἐντὸς ὑδατίνου περιβάλλοντος. Ἡ δημιουργία καὶ ἡ ἐναπόθεσίς των ἐγένετο καθ' ὃν χρόνον ἡ λάβα ενρίσκετο εἰς ἕξωδη κατάστασιν μὲ ἀποτέλεσμα τὴν κατάτμησιν τῶν Pillow - λαβῶν. Ἡ κατάτμησίς των ἐδημιούργησε φλοιώδεις δομὰς καὶ ἀκτινωτὰς οηγματώσεις. Ἡ μορφολογικὴ ἔξέτασις τῶν Pillow - λαβῶν δεικνύει ὅτι εἰς τὸ ἐσωτερικὸν αὗται εἶναι συμπαγεῖς μὲ ἵστον ἐνδιάμεσον ἔως ὑποφειτικόν. Πρὸς τὴν περιφέρειαν ὁ ἵστος μεταπίπτει διαδοχικῶς, εἰς τὴν γενικὴν περίπτωσιν, ἡ δποία ἀνταποκρίνεται καὶ εἰς τὸ σύνολον τῶν Pillow - λαβῶν "Οθρυος καὶ Σμόλικα, εἰς δενδροειδῆ, θαμνοειδῆ καὶ τέλος εἰς σφαιρολιθικὴν ὑφὴν ἐμφανιζομένην πρὸ τῆς ὑάλωδους ἐπιδερμίδος (5).

Πρὸς ἐρμηνείαν τῆς δημιουργίας τῶν σπιλιτικῶν πετρωμάτων διετυπώθησαν πλεῖσται θεωρίαι, αἱ δποῖαι δύνανται νὰ καταταχθοῦν εἰς τρεῖς κατηγορίας. Κατὰ τὴν πρώτην, ἐπικρατεῖ ὡς γενικὴ ἀρχὴ ἡ ἀποψις ὅτι εἶναι δυνατὴ καὶ πρέπει νὰ γίνῃ παραδεκτὴ ἡ ὑπαρξία ἐνὸς ἀρχικοῦ σπιλιτικοῦ μάγματος, τοῦ δποίου ἡ μὲν προέλευσις δέον νὰ ἀναζητηθῇ εἰς μάγματα βασαλικὰ ἔως ἀνδεσιτικά, πλούσια εἰς ἀέρια συστατικά, ὑδρατμοὺς καὶ διοξείδιον τοῦ ἄνθρακος, ὁ δὲ σχηματισμὸς δέον νὰ ἀναζητηθῇ καὶ νὰ ἀποδοθῇ εἰς τὰς λίαν εἰδικὰς συνθήκας τὰς δημιουργούμενας κατὰ τὰς δρογενέσεις (1). Κατὰ τὴν δευτέραν, τὸ ὑδάτινον περιβάλλον ἡ τὸ ὑδωρ τὸ ὑπάρχον ἐντὸς τῶν ἀσυνδέτων ἰζημάτων ἥσκησε σπουδαίαν ἐπίδρασιν ἐπὶ τοῦ μάγματος τοῦ ἐκχυθέντος ἐντὸς αὐτῶν (6). Κατὰ τὴν τρίτην, τέλος, οἱ χαρακτῆρες τῶν σπιλιτικῶν πετρωμάτων εἶναι ἀποτέλεσμα δράσεως μεταμαγμα-

\* KONST. G. SIDERIS, *Bemerkungen zu dem Chemismus der spilitischen Pillow-Laven der Gebiete vom Zentral - Othrys und Abdella Smolika.*

τικῶν αἵτίων (4). Τὸ πλεῖστον πάντως τῶν ἐρευνητῶν δέχεται μίαν πρωτογενῆ φύσιν τῶν σπιλιτικῶν πετρωμάτων μὲ βαθμιαίας λογικὰς μετασωματώσεις (1).

Ἡ μέχρι τοῦδε μελέτη τῶν Ἑλληνικῶν Pillow - λαβῶν (5, 8) ἀπέδειξεν, ὅτι πρόκειται περὶ σπιλιτικῶν πετρωμάτων, τῶν δοπίων ὅμως δ σπιλιτικὸς χαρακτὴρ δὲν εἶναι ἐντόνως ἐκπεφρασμένος.

Ἡ παροῦσα μελέτη, ἀποτελοῦσα συμβολὴν εἰς τὴν κατανόησιν τοῦ προβλήματος τῶν Pillow - λαβῶν, βασίζεται εἰς χημικὰς ἀναλύσεις δειγμάτων ληφθέντων ἐκ τοῦ κέντρου καὶ τῆς περιφερείας (ἐξωτάτων τμημάτων) τῶν Pillow - λαβῶν καὶ εἰς σύγκρισιν τῶν ἀποτελεσμάτων τῶν χημικῶν ἀναλύσεων πρὸς τὴν δρυκτολογικὴν σύστασιν αὐτῶν. Πρὸς τούτοις ἐγένοντο χημικὰς ἀναλύσεις δειγμάτων Pillow - λαβῶν ἐκ τῶν περιοχῶν Κεντρικῆς Ὀθρυος καὶ Ἀβδέλλας Σμόλικα (Πίναξ I), τῶν δοπίων τὰ ἀποτελέσματα δίδονται εἰς τὸν Πίνακα II. Εἰς τὸν Πίνακα III δίδονται ἀντιστοίχως τὰ ὑπολογισθέντα χημικὰ μεγέθη κατὰ NIGGLI (2) καὶ δ ἀριθμὸς χαλαζίου «qz». Εἰς τὸν Πίνακα IV δίδονται αἱ μαγματικὰ διάδεις καὶ αἱ μαγματικὰ παράμετροι τῶν ἀναλυθέντων δειγμάτων. Εἰς τὸν Πίνακα V δίδονται αἱ βάσεις κατὰ NIGGLI καὶ τὰ μεγέθη Q, L, M, π, γ καὶ μ. Τέλος, εἰς τὸν Πίνακα VI δίδονται αἱ τιμαὶ τῶν προτύπων κυψελίδων πετρώματος (cellules standard) κατὰ BARTH καὶ εἰς τὸν Πίνακα VII αἱ παρουσιαζόμεναι διαφοραὶ τῶν προτύπων κυψελίδων τῆς περιφερείας τῶν Pillows ἀπὸ τὰς ἀντιστοίχους τοῦ κέντρου αὐτῶν (3). Ἐξ ἀλλού, εἰς τὰ διαγράμματα 1, 2, 3 καὶ 4 δίδονται αἱ μεταβολαὶ τῶν μεγεθῶν NIGGLI al, alk, fm καὶ c συναρτήσει τῆς τιμῆς τοῦ μεγέθους si καὶ εἰς τὰ διαγράμματα 5, 6 καὶ 7 δίδονται ἀντιστοίχως αἱ προβολαὶ τῶν μεγεθῶν Q, L καὶ M, τῶν ὑποθετικῶν ἐνώσεων NIGGLI Ne, Kp καὶ Cal καὶ ἡ σχέσις τῶν θεωρητικῶν τιμῶν τῶν δυνητικῶν δρυκτῶν Ab, Or καὶ An (Albite, Orthoclase, Anorthite).

Ἐκ τῆς θεωρήσεως τῶν χημικῶν ἀναλύσεων ἴδιαιτέραν ἐντύπωσιν προκαλεῖ ἡ γενικὴ πτῶσις τῆς συμμετοχῆς τοῦ Na εἰς τὰ περιθώρια τῶν Pillows, ἡ σημαντικὴ ἀναλογία συμμετοχῆς τοῦ δοπίου εἶναι παρὰ ταῦτα ἐν ἐκ τῶν χαρακτηριστικῶν τῶν σπιλιτικῶν πετρωμάτων. Εἰς τὰς προκειμένας περιπτώσεις πάντες οἱ μαγματικοὶ τύποι ἀνήκουν εἰς τὴν B σειρὰν μαγμάτων κατὰ NIGGLI, τῶν πλουσίων δηλαδὴ εἰς Na.

Εἰς τὰ διαγράμματα 1 καὶ 2 διακρίνεται ἐλαφρὰ ἀνοδος τῶν τιμῶν τῶν μεγεθῶν al καὶ alk, ἀναλόγως τῆς αὐξήσεως τοῦ μεγέθους si, ἐνῷ, ἀντιτρό-

## Π Ι Ν Α Ε I.

## Κλείς χημικῶν ἀναλύσεων.

I K	Αβδέλλα.	Σμόλικας	Κέντρον	Pillow
I II	Αβδέλλα.	Σμόλικας	Περιφέρεια	Pillow
II K	Πηγή Αχιλλέως.	Οθρυς	Κέντρον	Pillow
II II	Πηγή Αχιλλέως.	Οθρυς	Περιφέρεια	Pillow
III K	Καμηλόβρυση.	Οθρυς	Κέντρον	Pillow
III II	Καμηλόβρυση.	Οθρυς	Περιφέρεια	Pillow
IV K	Νεοχώριον.	Οθρυς	Κέντρον	Pillow
IV II	Νεοχώριον.	Οθρυς	Περιφέρεια	Pillow

## Π Ι Ν Α Ε II.

## Αποτελέσματα χημικῶν ἀναλύσεων.

Αναλυτής: Καθηγητής Δρ. M. WEIBEL, E. T. H. Ζυρίχη.

	I K	I II	II K	II II	III K	III II	IV K	IV II
SiO <sub>2</sub>	43,0	45,4	42,6	46,6	45,6	47,7	48,5	43,9
Al <sub>2</sub> O <sub>3</sub>	13,7	15,3	13,0	15,6	14,5	15,9	13,6	13,0
Fe <sub>2</sub> O <sub>3</sub>	4,8	2,7	7,8	3,7	6,9	5,7	4,7	3,4
FeO	5,5	6,7	2,0	4,6	1,5	1,8	3,3	4,2
MnO	0,15	0,15	0,2	0,15	0,17	0,10	0,10	0,12
MgO	5,7	8,9	7,7	8,6	6,5	5,9	6,7	6,4
CaO	12,3	8,8	11,2	10,4	11,6	8,8	9,1	12,9
Na <sub>2</sub> O	3,7	3,2	3,0	2,3	3,8	3,3	4,4	4,0
K <sub>2</sub> O	0,7	0,3	0,9	1,5	0,15	1,5	0,5	0,2
TiO <sub>2</sub>	1,2	1,3	0,9	0,9	0,95	1,0	1,1	1,0
P <sub>2</sub> O <sub>5</sub>	0,18	0,19	0,20	0,17	0,20	0,19	0,15	0,12
H <sub>2</sub> O +	4,5	6,5	6,7	4,8	5,3	5,7	5,2	4,7
CO <sub>2</sub>	4,4	0,4	3,3	0,1	2,7	1,8	2,4	5,8
Σύνολον	99,8	99,8	99,5	99,4	99,9	99,4	99,8	99,7

## Π Ι Ν Α Ε III.

**Μεγέθη NIGGLI ἀναλυθέντων πετρωμάτων.**

	si	al	fm	c	alk	k	mg	ti	p	qz
I K	106,86	20,00	37,31	32,68	10,00	0,10	0,56	2,23	0,14	— 33,14
I II	109,09	21,64	48,05	22,65	7,64	0,05	0,66	2,30	0,69	— 21,47
II K	100,42	18,13	45,32	28,32	8,21	0,17	0,59	1,55	0,14	— 32,42
II II	108,53	21,39	45,31	25,87	7,41	0,23	0,65	1,56	0,13	— 21,11
III K	111,45	20,85	39,64	30,39	9,10	0,01	0,59	1,76	0,14	— 25,00
III II	126,83	24,92	38,97	25,07	11,02	0,23	0,59	2,07	0,15	— 17,30
IV K	131,81	21,69	39,47	26,42	12,39	0,06	0,68	2,28	0,16	— 17,5
IV II	110,09	19,27	35,99	34,63	10,09	0,02	0,66	1,95	0,15	— 30,27

## Π Ι Ν Α Ε IV.

**Μαγματικαὶ διαδεξ καὶ μαγματικοὶ τύποι.**

	Μαγματικὴ διάδεξ	Μαγματικὸς τύπος
I K	Theralite - gabbroidal	Berondritic
I II	Sodic - gabbroidal	Essexite - gabbroidal
II K	Gabbro - theralitic	Gabbro - theralitic
II II	Sodic - gabbroidal	Essexite - gabbro - dioritic
III K	Theralite - gabbroidal	Berondritic
III II	Theralite - gabbroidal	Theralite - gabbroidal
IV K	Theralite - gabbroidal	Theralite - gabbroidal
IV II	Theralite - gabbroidal	Berondritic

Π Ι Ν Α Σ Β.

Βάσεις διαδικαστών πετρωμάτων και μεγέθη Q, L, M, π, γ και μ.

	Cp	Ru	Kp	Ne	Cal	Cs	Fs	Fa	Fo	Q	Cc	L	M	Q	π	γ	μ
I K	0,4	0,8	2,6	20,6	11,7	4,1	5,2	6,8	12,2	24,1	11,5	34,9	29,1	24,1	0,33	0,14	0,43
I II	0,4	0,9	1,1	18,2	16,8	8,5	3,0	8,4	19,5	22,1	1,1	36,1	40,3	22,1	0,46	0,21	0,49
II K	0,4	0,7	3,4	17,2	12,3	4,5	8,7	2,8	17,0	24,1	8,9	32,9	33,7	24,1	0,37	0,13	0,51
II II	0,3	0,7	5,6	13,0	17,5	7,0	4,0	5,7	18,7	27,3	0,2	36,1	36,1	27,3	0,48	0,19	0,52
III K	0,4	0,7	0,5	21,4	13,7	5,5	7,5	2,0	14,1	27,1	7,1	35,6	29,8	27,1	0,38	0,18	0,48
III II	0,4	0,8	5,6	18,7	15,2	2,4	6,3	2,3	12,9	30,6	4,8	39,5	24,7	30,6	0,38	0,10	0,53
IV K	0,3	0,8	1,9	24,6	9,9	4,0	5,1	4,1	14,4	28,6	6,3	36,4	28,4	28,6	0,27	0,16	0,60
IV II	0,2	0,8	0,7	22,0	10,4	3,0	3,7	5,0	13,6	25,6	15,0	33,1	26,1	25,6	0,31	0,11	0,53

## Π Ι Ν Α Ξ VI.

**Τυπαι προτύπων κυψελίδων κέντρου και περιφερείας Pillows.**

I K	Si 39,29	Al 14,75	Fe 3,28	FeMn 4,33	Mg 7,73	Ca 12,00	Na 6,52	K 0,81	Ti 0,81	P 0,14	C 5,48	[O 131,20 (OH) 28,80] 160
I II	Si 41,36	Al 16,40	Fe 1,86	FeMn 5,19	Mg 12,09	Ca 8,58	Na 5,62	K 0,32	Ti 0,87	P 0,15	C 0,48	[O 117,54 (OH) 42,46] 160
II K	Si 38,15	Al 13,71	Fe 5,27	FeMn 1,66	Mg 10,27	Ca 10,76	Na 5,21	K 1,01	Ti 0,59	P 0,15	C 8,07	[O 115,98 (OH) 44,02] 160
II II	Si 42,90	Al 16,91	Fe 2,53	FeMn 3,58	Mg 11,77	Ca 10,22	Na 4,08	K 1,76	Ti 0,60	P 0,10	C 0,10	[O 128,84 (OH) 31,16] 160
III K	Si 40,99	Al 15,33	Fe 4,64	FeMn 1,23	Mg 8,68	Ca 11,18	Na 6,64	K 0,15	Ti 0,64	P 0,15	C 3,29	[O 125,86 (OH) 34,14] 160
III II	Si 42,42	Al 16,67	Fe 3,79	FeMn 1,38	Mg 7,80	Ca 8,38	Na 5,66	K 1,70	Ti 0,69	P 0,15	C 2,19	[O 122,86 (OH) 37,14] 160
IV K	Si 43,36	Al 14,32	Fe 3,16	FeMn 2,52	Mg 8,90	Ca 8,68	Na 7,61	K 0,58	Ti 0,74	P 0,10	C 2,94	[O 126,66 (OH) 33,34] 160
IV II	Si 39,17	Al 13,36	Fe 2,29	FeMn 3,15	Mg 8,97	Ca 12,32	Na 6,90	K 0,20	Ti 0,69	P 0,04	C 7,06	[O 130,28 (OH) 29,72] 160

## Π Ι Ν Α Ξ VII.

Διαφοραὶ προτύπων κυψελίδων κέντρου καὶ περιφερίας Pillows.

\*Ἐκ τοῦ κέντρου πρὸς τὴν περιφέρειαν :

I.	προστίθενται	ἀφαιροῦνται
	2,07 ίόντα Si	1,42 ίόντα Fe
	1,65 ίόντα Al	3,42 ίόντα Ca
	0,86 ίόντα FeMn	0,90 ίόντα Na
	4,36 ίόντα Mg	0,49 ίόντα K
	0,06 ίόντα Ti	5,00 ίόντα C
	0,01 ίόντα P	<u>11,23</u> κατιόντα
	<u>13,66</u> ίόντα H	μονάδες σθένους
	<u>22,67</u> κατιόντα	ἐν συνόλῳ 32,49
	μονάδες σθένους	
	ἐν συνόλῳ 37,60	
II.	προστίθενται	ἀφαιροῦνται
	4,75 ίόντα Si	2,74 ίόντα Fe
	3,20 ίόντα Al	0,54 ίόντα Ca
	1,92 ίόντα FeMn	1,13 ίόντα Na
	1,50 ίόντα Mg	0,05 ίόντα P
	0,75 ίόντα K	7,97 ίόντα C
	0,01 ίόντα Ti	<u>12,85</u> ίόντα H
	<u>12,13</u> κατιόντα	<u>25,29</u> κατιόντα
	μονάδες σθένους	μονάδες σθένους
	ἐν συνόλῳ 36,23	ἐν συνόλῳ 55,32
III.	προστίθενται	ἀφαιροῦνται
	1,43 ίόντα Si	0,85 ίόντα Fe
	1,34 ίόντα Al	0,88 ίόντα Mg
	0,15 ίόντα FeMn	2,80 ίόντα Ca
	1,55 ίόντα K	0,98 ίόντα Na
	0,05 ίόντα Ti	<u>1,10</u> ίόντα C
	3,00 ίόντα H	<u>6,61</u> κατιόντα
	<u>7,52</u> κατιόντα	μονάδες σθένους
	μονάδες σθένους	ἐν συνόλῳ 15,29
	ἐν συνόλῳ 14,79	
IV.	προστίθενται	ἀφαιροῦνται
	0,63 ίόντα FeMn	4,19 ίόντα Si
	0,07 ίόντα Mg	0,66 ίόντα Al
	3,64 ίόντα Ca	0,87 ίόντα Fe
	<u>4,12</u> ίόντα C	0,71 ίόντα Na
	<u>8,46</u> κατιόντα	0,38 ίόντα K
	μονάδες σθένους	0,05 ίόντα Ti
	ἐν συνόλῳ 25,16	0,06 ίόντα P
		<u>3,62</u> ίόντα H
		<u>10,54</u> κατιόντα
		μονάδες σθένους
		ἐν συνόλῳ 26,44

φως, εἰς τὰ διαγράμματα 3 καὶ 4 διακρίνεται ἀνεπαίσθητος πτῶσις τῶν τιμῶν τῶν μεγεθῶν fm καὶ c, ἀναλόγως τῆς αὐξήσεως τοῦ μεγέθους si.

Εἰς τὸ διαγράμμα 5 διακρίνεται σαφῶς ἡ σταθερὰ τοποθέτησις τῶν προβολῶν τῶν τιμῶν Q, L καὶ M εἰς τὸν χῶρον τῶν βασικῶν μαγμάτων (πρβλ. 5). Εἰς τὰ διαγράμματα 6 καὶ 7 διακρίνεται σαφῶς ἡ μεγαλυτέρα βασικότης τῶν θεωρητικῶν πλαγιοκλάστων τοῦ κέντρου τῶν Pillows ἐν σχέσει πρὸς τὰ ἀντίστοιχα τῆς περιφερείας.

Ἐξ ἄλλου, εἰς τὰς αὐτὰς σπιλιτικὰς Pillow - λάβας τῆς Ὀμρούς καὶ τοῦ Σμόλικα ἔξηριβώθη διὰ τῆς χρήσεως διπτικῶν μεθόδων (πολωτικοῦ μικροσκοπίου ἐν συνδυασμῷ μὲν U - τράπεζαν) ἡ μείωσις τῆς βασικότητος τῶν πλαγιοκλάστων διὰ μίαν ζώνην ενδισκομένην ἀκριβῶς κάτωθι τῆς περιφερείας ἐν σχέσει πρὸς τὴν βασικότητα τῶν πλαγιοκλάστων τοῦ κέντρου τῶν Pillows (5).

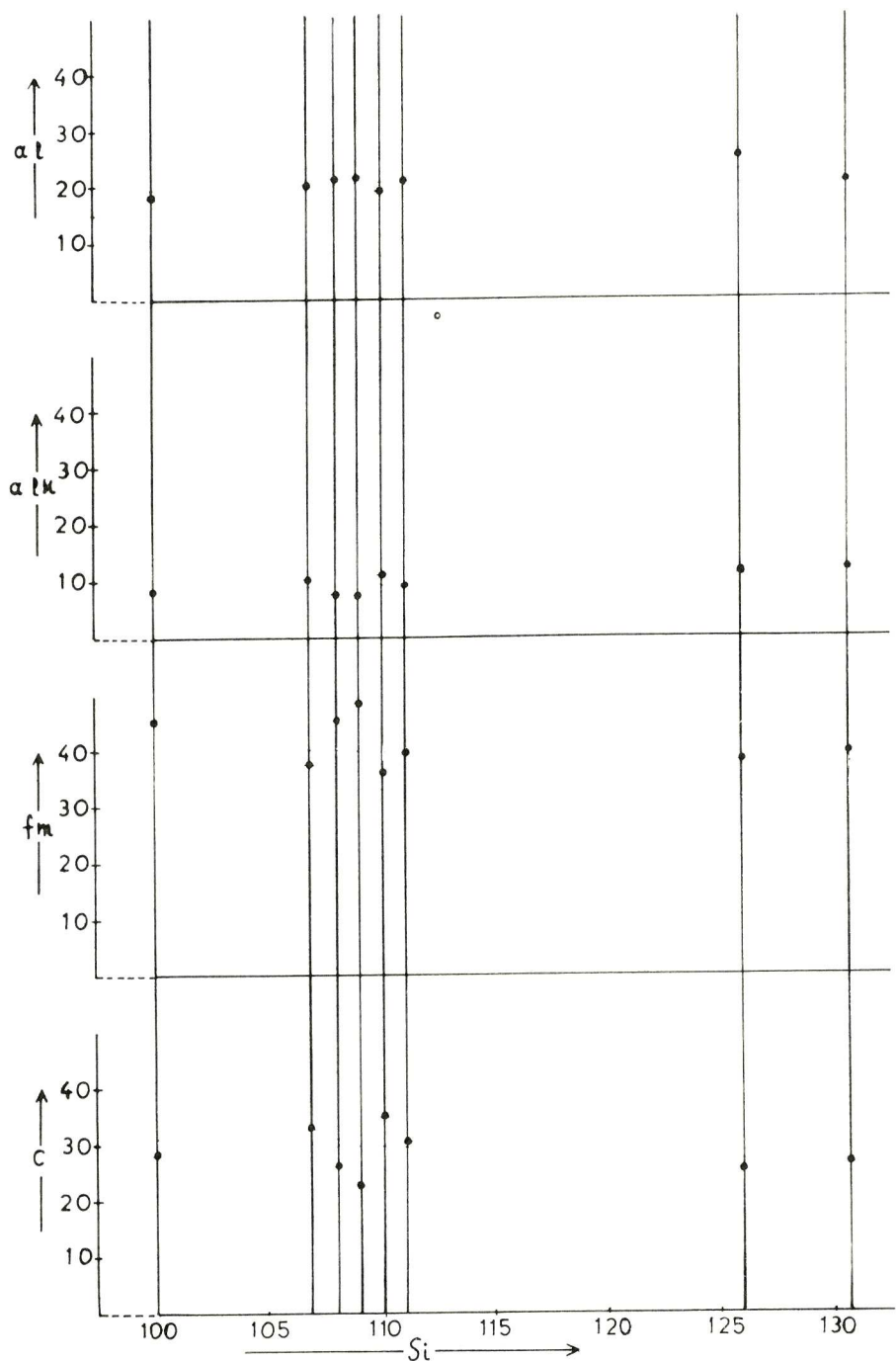
Τὸ γεγονός τῆς μεταβολῆς τῆς βασικότητος τῶν πλαγιοκλάστων διὰ τὴν ἀναφροδιμένην ζώνην ἐπεβεβαιώθη καὶ ἐκ τῆς ἐπεξεργασίας κατὰ NIGGLI τῶν ἀντιστοίχων χημικῶν ἀναλύσεων δειγμάτων Pillow - λαβῶν ληφθέντων ἐκ τοῦ κέντρου καὶ ἐκ τῶν ἔξωτερικῶν τμημάτων αὐτῶν, τῶν ενδισκομένων ἀκριβῶς πρὸ τοῦ ἔξωτάτου περιθωρίου τῶν Pillows, τὸ δοποῖον ἀποτελεῖται καθ' δλοκληρίαν σχεδὸν ἀπὸ ὑαλον (5). Εἰς τὴν παροῦσαν μελέτην ἐκφράζονται σκέψεις τινὲς ἀναφερόμεναι εἰς τὴν ἁρμηνείαν τοῦ φαινομένου τούτου, δηλαδὴ τῆς παρουσίας μιᾶς ζώνης ενδισκομένης ἀκριβῶς πρὸ τῆς περιφερείας τῶν Pillows, τῆς δοπίας οἱ ἀστριοι εἶναι ἐμπλουτισμένοι εἰς Na ἐν σχέσει πρὸς τοὺς ἀντιστοίχους τῶν ἐσωτερικῶν τμημάτων.

Ἡ πτῶσις τῆς ἀναλογίας τοῦ Na εἰς τὰ περιθώρια τῶν Pillows δύναται νὰ ἀποδοθῇ εἰς τὴν ἐπίδρασιν μιᾶς λίαν ἐλαφρᾶς μεταμορφώσεως ἢ ἔστω διαγενέσεως.

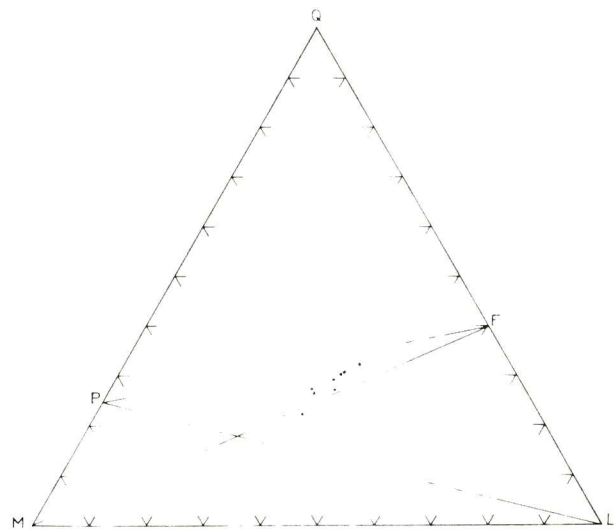
Αἱ Pillow - λάβαι τῶν γεωσυγκλίνων ὑπόκεινται καὶ εἰς τὴν μίαν καὶ εἰς τὴν ἄλλην ἐπίδρασιν.

Δυστυχῶς τὰ χαρακτηριστικὰ δρυκτὰ καὶ τῶν δύο διεργασιῶν δὲν δύνανται νὰ διακριθοῦν. Ἐκτὸς τούτου, τὸ πρόβλημα ἐτέθη διὰ τὰ ἀκραῖα τμήματα τῶν Pillows, ὅπου ὁ ἵστος εἶναι καθ' δλοκληρίαν ἢ σχεδὸν ὑαλώδης. Προσέτι θὰ ἥδυνατό τις νὰ σκεφθῇ καὶ τὴν ἔξαλλοιώσιν τοῦ πετρώματος ὃς αἰτίαν τῆς δημιουργίας τοῦ φαινομένου. Ἡ ἐλαφρὰ μεταμόρφωσις, ἐφ' ὅσον πρόκειται περὶ τοιούτου τινός, δῆθεὶς νὰ εἶναι τῆς ζεολιθικῆς φάσεως, ἢ δοπία λαμβάνει χώραν ὑπὸ συνθήκας πιέσεως κυμαινομένας μεταξὺ  $2 - 3 \times 10^3$  BARS, θερμοκρασίας μεταξὺ 200 - 300° C.

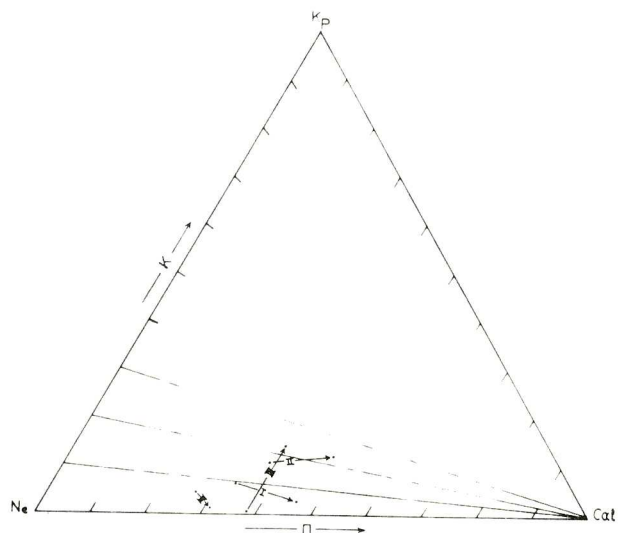
Ἡ ζεολιθικὴ φάσις ἀντιπροσωπεύει τὴν ἀσθενεστέραν μεταμόρφωσιν, ἀμέ-



Διαγράμματα 1, 2, 3, 4.



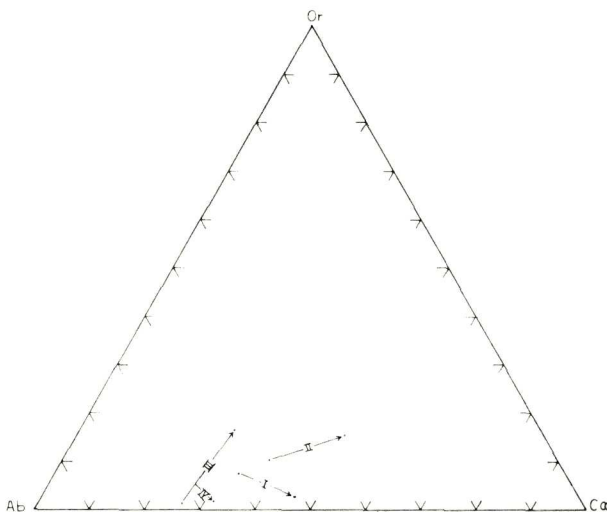
Διάγραμμα 5.



Διάγραμμα 6.

σως δὲ μετὰ ταύτην ἔπειται ἡ χαλαζιακὴ - ἀλβιτικὴ - μοσχοβιτικὴ - χλωριτικὴ ὑπόφασις τῆς πρασινοσχιστολιθικῆς φάσεως τῆς μεταμορφώσεως (6). Ἡ ἀσταθὴς φύσις τῶν ἀρχικῶν ὑλικῶν καὶ ἡ ὑψηλὴ περιεκτικότης εἰς ὕδωρ εἶναι παράγοντες εὐνοοῦντες τὴν μεταμόρφωσιν τῶν πετρωμάτων εἰς τόσον χαμηλὰς θερμοκρασίας.

Ἡ ζεολιθικὴ φάσις κατὰ COOBS καθιερώθη εἰς τὴν πετρολογίαν τῶν μεταμορφωμένων πετρωμάτων ὑπὸ τῶν FYFE W. S., TURNER F. J. καὶ VER-



Διάγραμμα 7.

HOOGEN J. (6), παρετηρήθη δὲ προσφάτως καὶ εἰς τὴν περιοχὴν τῶν Δυτικῶν Ἀλπεων ὑπὸ τῶν M. VUAGNAT καὶ J. MARTINI (9).

Ἐξ ἄλλου, ἡ δημιουργία ζεολίθων ὡς ἐπιγενετικῶν ὁρυκτῶν δὲν εἶναι σπάνιον φαινόμενον εἰς τὰς βασικὰς λάβας κατὰ τὴν διαγένεσιν, ἡ δούια λαμβάνει χώραν εἰς βάθη κυμαινόμενα μεταξὺ 3.500 - 7.000 μέτρων καὶ ὑπὸ θερμοκρασίας 100 - 200° C (6).

Οὕτως ἡ ἄλλως, τῇ ἐπιδράσει δηλαδὴ ἡ ἀσθενοῦς μεταμορφώσεως ἡ διαγενέσεως ἐπὶ τῆς ὑάλου τῶν ἀκραίων τμημάτων τῶν Pillows, τὸ ἀποτέλεσμα εἶναι ἡ μερικὴ ἀφυάλωσις (Devitrification) ὑπὸ τὴν παρουσίαν ἀφθόνου ὕδατος, χαμηλῶν θερμοκρασῶν καὶ πιέσεων καὶ ἡ δημιουργία κρυσταλλικότητος ἐντὸς ταύτης. Κατὰ τὴν ἀναμόρφωσιν ταύτην τὸ Na τείνει νὰ διέλθῃ εἰς τὴν ὑγρὰν φάσιν καὶ διὰ μερικῆς μετασωματώσεως τοῦ Ca νὰ ὑπεισέλθῃ εἰς τοὺς ἀστρίους πρὸς δημιουργίαν ἐλαφρῶς δξινωτέρων πλαγιοκλάστων (VALLANCE) (7). Κατὰ

μίαν δηλαδὴ τοιαύτην ἀναμόρφωσιν τοῦ ὑλικοῦ τῆς ὑάλου λαμβάνει χώραν κινητοποίησις τοῦ Na, μέρος τοῦ ὁποίου ἀπομακρύνεται πέρα τῶν Pillows, ἐνῷ τὸ ὑπόλοιπον διεισδύει πρὸς τὸ ἐσωτερικὸν τῶν Pillows. Οὕτω, διὰ τῆς παραδοχῆς τῶν ὡς ἄνω ἀπόψεων, ἐρμηνεύεται ἡ παρατηρηθεῖσα εἰς δείγματα Ἑλληνικῶν Pillow - λαβῶν παρουσία μιᾶς ζώνης δέξινωτέρων πλαγιακλάστων ἐμπλουτισμένων εἰς Na, ἀμέσως κάτωθι τῶν ἔξωτάτων περιθωρίων τῶν Pillows, εἰς τὰ ὅποια καὶ διὰ χημικῶν ἀναλύσεων διεπιστώθη ἡ πτῶσις τῆς ἀναλογίας συμμετοχῆς τοῦ Na.

*"Ἡ ὡς ἄνω μελέτη ἐχρηματοδοτήθη ἐκ τοῦ κορδυλίου ἐρευνῶν τοῦ Ἐθνικοῦ καὶ Καποδιστριακοῦ Πανεπιστημίου Ἀθηνῶν.*

#### B I B L I O G R A F I A

1. AMSTUTZ, G.: Spilitic Rocks and Mineral Deposits. *Geol. Soc. of America. Atlantic City.* 1956.
2. BURRI, C.: Petrochemische Berechnungsmethoden auf äquivalenter Grundlage. 1959.
3. JAFFÉ, F. C.: Les opfhiolites et les roches connexes de la région du Col de Gets. (Chamblais, Haute Savoie). *Schw. Min.-Petr. Mitt. B.* **35**, 1955.
4. HEINRICH, E.: Microscopic Petrography. London 1956.
5. ΣΙΔΕΡΗΣ, Κ.: Οἱ Ἑλληνικοὶ σπιλίται τῆς ὁφιολιθικῆς ὅμάδος. Διδακτορικὴ διατριβή. Ἀθῆναι, 1965.
6. TURNER, F. - WERHOOGEN, J.: Igneous and Metamorphic Petrology. 1960.
7. VALLANCE, T. G.: On the chemistry of pillows-lavas and the origin of spilites. *Miner. Mag. Tilley v.* 1965.
8. VUAGNAT, M.: Les laves en coussins de l'Othrys, Grèce. *Arch. de Sciences Phys.-Natur.* **12**, 1959.
9. VUAGNAT, M. - MARTINI, J.: Considérations sur la volcanisme postophiolithique dans les Alpes occidentales. *Geol. Rundschau.* Band **57**, 1967.

#### Z U S A M M E N F A S S U N G

In den spilitischen Pillow-Laven aus den Gebieten von dem Abdella (Smolika) und aus dem Zentral-Othrys wurde genau unterhalb der Pillow-ränder das Vorhandensein von Plagioklasen festgestellt, die im Vergleich mit denen des Zentrums der Pillows saurer sind.

Festgestellt wurde dies einerseits unter Anwendung optischer Me-

thoden (Polarisationsmikroskop in Verbindung mit dem U - Tisch) und andererseits mittels chemischer Analysen.

Ausserdem wurde an den Rändern der Pillows durch chemische Analysen ein Fallen der Anteilverhältnisse von Na in ihrer Zusammensetzung festgestellt.

Die Bereicherung dieser Zone an saureren Plagioklasen im Na beruht auf der Mobilisation und Wanderung desselben vom Rande der Pillows während ihrer Entglasung.



Ο Ακαδημαϊκὸς κ. **Μάξιμος Κ. Μητσόπουλος** κατὰ τὴν ἀνακοίνωσιν τῆς ἀνωτέρῳ ἐργασίας εἶπε τὰ κάτωθι :

Εἰς τὰς περιοχὰς τῆς κεντρικῆς Ὁθωνος καὶ τοῦ Σμόλικα ἀπαντοῦν ἐκτεταμέναι σπιλιτικὰ Pillow - λάβαι ὑπεροκείμεναι συνήθως ἐκχύτων σπιλιτικῶν λαβῶν. Αἱ σπιλιτικαὶ αὗται λάβαι ἔξεχύθησαν ἐντὸς τοῦ ἐλληνικοῦ χώρου τοῦ ἀλπικοῦ γεωσυγκλίνου.

Αἱ μέχρι τοῦδε μελέται τῶν ἐλληνικῶν Pillow - λαβῶν ἀπέδειξαν ὅτι πρόκειται περὶ σπιλιτικῶν πετρωμάτων, τῶν ὅποιων ὅμως δ σπιλιτικὸς χαρακτὴρ δὲν εἶναι κατ' ἔξοχὴν ἐκπεφρασμένος.

Εἰς τὴν μελέτην ταύτην δ ἡ. Σιδέρης ἐπιχειρεῖ, ἐπὶ τῇ βάσει χημικῶν ἀναλύσεων δειγμάτων πετρωμάτων ἐκ τοῦ κέντρου καὶ τῆς περιφερείας τῶν Pillows καὶ ἐκ παραλλήλου μικροσκοπικῶν παρατηρήσεων, τὴν περαιτέρῳ διερεύνησιν τῶν λαβῶν τούτων καὶ τὴν ἔρμηνείαν τῆς παρουσίας μιᾶς ζώνης πλαγιοκλάστων πλουσίων εἰς Νάτριον ἀμέσως κάτωθι τῶν ἔξωτάτων παρυφῶν τῶν Pillows, εἰς τὰς δοπίας πιστοποιεῖ πτῶσιν τῆς ἀναλογίας συμμετοχῆς τοῦ Νατρίου.

Ἡ ὡς ἄνω μείωσις τῆς ἀναλογίας τοῦ Νατρίου εἰς τὰ περιθώρια ἀποδίδεται εἰς τὴν ἐπίδρασιν παραγόντων ἀσθενοῦς μεταμορφώσεως ἢ ἐστω καὶ διαγενέσεως.